

## EL. FINITI Quadrilateri:

Lo sviluppo storico degli elementi finiti quadrilateri ha seguito per molti anni la strada riportata per gli elementi triangolari e che ripercorreremo brevemente nelle prossime "slides".

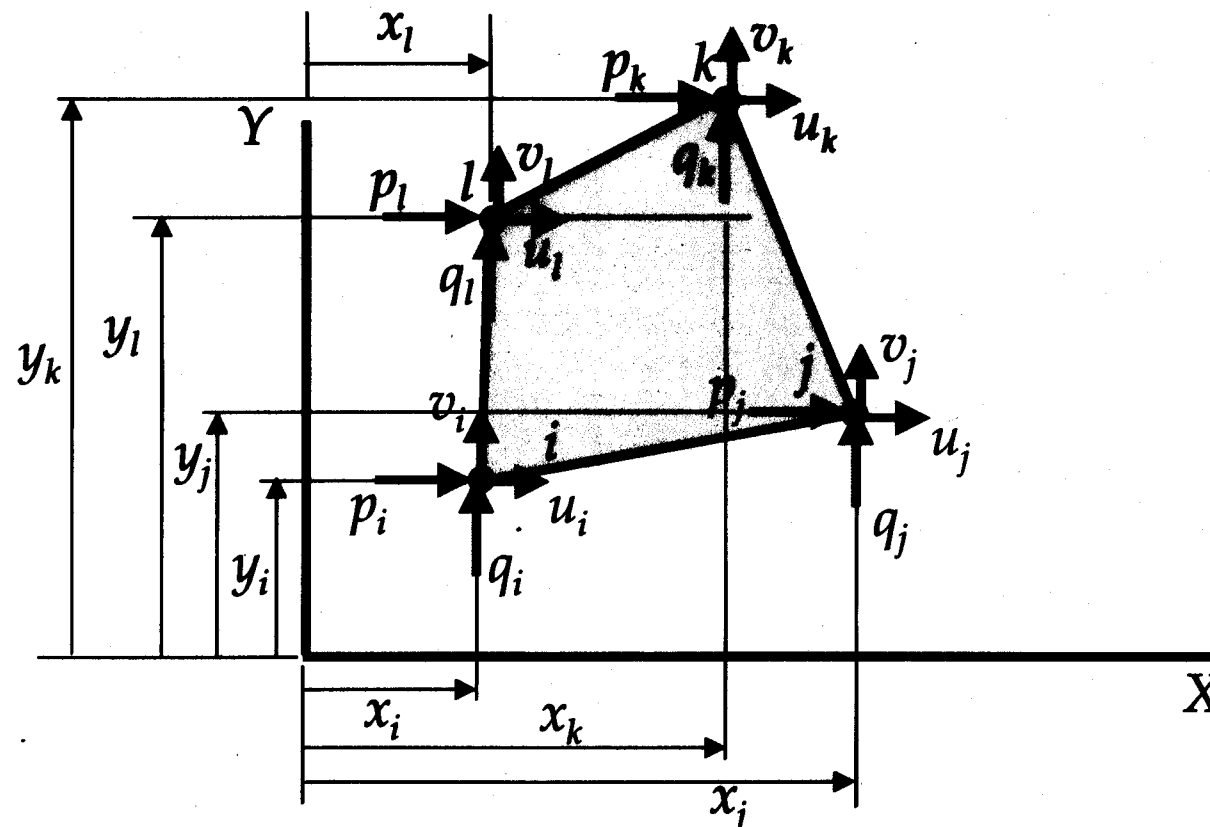
Tuttavia a partire dal 1968, e seguito soprattutto dai lavori di Bruce Irons, è stato introdotto un modo più efficiente per ottenere le matrici di rigidità e tale metodo è basato sui seguenti presupposti:

- 1 - Si opera su un elemento di riferimento o "master element" di solito 1 quadrato (un cubo) di lati  $2 \times 2$  ( $2 \times 2 \times 2$ )
- 2 - Si definiscono direttamente le funzioni di forme  $N_i(\underline{x})$  (che valgono 1 in un nodo e 0 negli altri)  
A partire dai Polinomi di Lagrange ( $m-1$ )  
⇒ "tensor product elements"
- 3 - Gli integrali vengono valutati numericamente (in genere si usa il Metodo di quadrature di Gauss)

# Plane Quadrilateral Bilinear Element



- The 4-node quadrilateral element is the simplest four-sided two-dimensional element



# Bilinear Displacement Field



- The assumed displacement field for this element is

$$u(x, y) = a_1 + a_2x + a_3y + a_4xy$$

$$v(x, y) = a_5 + a_6x + a_7y + a_8xy$$

or

$$\begin{Bmatrix} u(x, y) \\ v(x, y) \end{Bmatrix} = \begin{bmatrix} 1 & x & y & xy & 0 & 0 & 0 & 0 \\ 0 & 0 & 0 & 0 & 1 & x & y & xy \end{bmatrix} \begin{Bmatrix} a_1 \\ a_2 \\ a_3 \\ a_4 \\ a_5 \\ a_6 \\ a_7 \\ a_8 \end{Bmatrix}$$

Note that the assumed displacement field is not “complete” (neither linear nor quadratic)

## Bilinear Displacement Field (cont'd)



- Writing these expression more concisely and performing the usual operations we obtain

$$\bar{\mathbf{X}}\mathbf{a} = \mathbf{u} \quad \mathbf{a} = \bar{\mathbf{X}}^{-1}\mathbf{u}$$

$$\bar{\mathbf{u}}(\mathbf{x}) = \mathbf{X}(\mathbf{x})\bar{\mathbf{X}}^{-1}\mathbf{u} = \mathbf{N}(\mathbf{x})\mathbf{u}$$

where  $\mathbf{N}(\mathbf{x}) = \mathbf{N}(x, y)$  is the shape function matrix for the the plane quadrilateral bilinear (PQB) element

$$\mathbf{N}(\mathbf{x}) = \begin{bmatrix} N_1(x, y) & 0 & N_2(x, y) & 0 & N_3(x, y) & 0 & N_4(x, y) & 0 \\ 0 & N_1(x, y) & 0 & N_2(x, y) & 0 & N_3(x, y) & 0 & N_4(x, y) \end{bmatrix}$$

# PQB Strain-Displacement Matrix



- The strain in this element can now be computed from

$$\boldsymbol{\varepsilon} = \partial \bar{\mathbf{u}}(\mathbf{x}) = \partial \mathbf{N}(\mathbf{x}) \mathbf{u} = \mathbf{B}(\mathbf{x}) \mathbf{u}$$

where

$$\mathbf{B} = \begin{bmatrix} \frac{\partial N_1}{\partial x} & 0 & \frac{\partial N_2}{\partial x} & 0 & \frac{\partial N_3}{\partial x} & 0 & \frac{\partial N_4}{\partial x} & 0 \\ 0 & \frac{\partial N_1}{\partial y} & 0 & \frac{\partial N_2}{\partial y} & 0 & \frac{\partial N_3}{\partial y} & 0 & \frac{\partial N_4}{\partial y} \\ \frac{\partial N_1}{\partial y} & \frac{\partial N_1}{\partial x} & \frac{\partial N_2}{\partial y} & \frac{\partial N_2}{\partial x} & \frac{\partial N_3}{\partial y} & \frac{\partial N_3}{\partial x} & \frac{\partial N_4}{\partial y} & \frac{\partial N_4}{\partial x} \end{bmatrix}$$



## PQB Strains

---

- Note that because of the assumed displacement field

$$\varepsilon_x = \varepsilon_x(y)$$

$$\varepsilon_y = \varepsilon_y(x)$$

$$\gamma_{xy} = \gamma_{xy}(x, y)$$

- This strain distribution may be unsuitable for some applications

# PQB Stiffness Matrix

---



- Using this matrix the stiffness matrix for a constant thickness  $h$  PQB element can be computed

$$\mathbf{k} = h \int_{x_{\min}}^{x_{\max}} \int_{y_{\min}}^{y_{\max}} \mathbf{B}^T \mathbf{E} \mathbf{B} dx dy$$

8×8      x<sub>max</sub> y<sub>max</sub> 8×3 3×3 3×8

- The integration is complicated and is performed using Gaussian quadrature

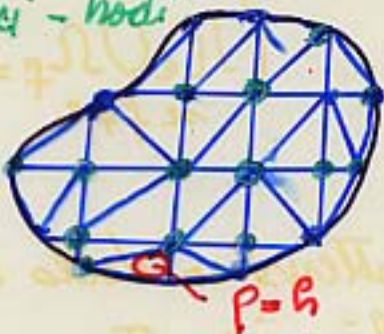
DISCRETIZZAZIONI IN 2 (O 3) DIMENSIONI

Si assumono ancora interpolazioni polinomiali su ciascuna sottoregione  $\Omega^e$  (elemento) ma occorre garantire la continuità delle f. incognite lungo le linee (o superfici) fra 2 elementi adiacenti.

Esistono 2 famiglie principali di elementi: Lagrangiani

- A) "SIMPLEX" elements (el. di forma triangolare)
- B) "Tensor-product" elements (el. di forma di quadrato)

• Vertici - nodi

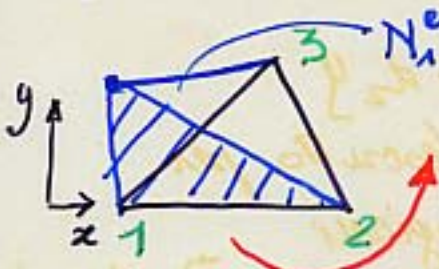


$$\bar{\Omega}_h = \cup_e N_e \Omega^e \quad (\Omega_e \cup \Omega_f = \emptyset \text{ se } f \neq e)$$

$$\lim_{h \rightarrow 0} \bar{\Omega}_h \rightarrow \bar{\Omega} \quad (N^e \rightarrow \infty)$$

$h$  parametro caratteristico dello mesh  
raggio  $\rho$  del cerchio inscritto

SIMPLEX EL. - Elemento "lineare"  
(in elasticità è detto CST)



$$u^e = d_0 + d_1 x + d_2 y$$

⇒ proc. come descritto per gli el. lagrangiani

$$\begin{vmatrix} N_1^e \\ N_2^e \\ N_3^e \end{vmatrix} = \frac{1}{2A^e} \begin{bmatrix} x_2 y_3 - x_3 y_2 & y_2 - y_3 & x_3 - x_2 \\ x_3 y_1 - x_1 y_3 & y_3 - y_1 & x_1 - x_3 \\ x_1 y_2 - x_2 y_1 & y_1 - y_2 & x_2 - x_1 \end{bmatrix} \begin{bmatrix} 1 \\ x \\ y \end{bmatrix}$$

$|A^e|$  area del triangolo

$$A^e = \frac{1}{2} \{ (x_2 y_3 - x_3 y_2) + (x_3 y_1 - x_1 y_3) + (x_1 y_2 - x_2 y_1) \}$$

Altre scelte di punti di interpolazione sono ovviamente possibili (e.g. pts a metà lato "midside nodes")  
Si ricorda che la f. interpolante deve risultare  $C^0$  continua su tutto il lato non solo nei nodi.

$$v \in C^0(\Omega)$$

L'elemento è detto **conforme o compatibile** se è continuo  $v$  e le sue derivate secondo quanto è necessario nella formulazione debole. Altrimenti l'elemento è detto **non-conforme**

È stata proposta una moltitudine di elementi si ricorda che essi devono avere le seguenti caratteristiche

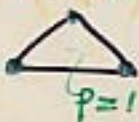
- il polinomio deve contenere il termine  $d_0(\text{cost})$  per riprodurre i moti rigidi
- L'accuratezza delle soluzioni dipende dal polinomio completo di grado più elevato
- Anche se non completo il polinomio interpolante deve essere "SIMMETRICO" in  $x$  e  $y$  per consentire la rotazione degli assi

**T. di PASCAL**  
(Tartaglia)

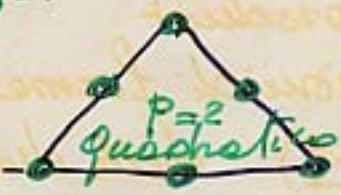
LINEARE

$$1$$

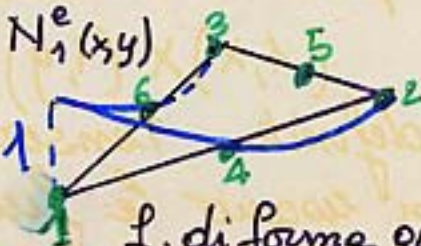
$$-x \quad -y$$



$$-x^2 \quad -xy \quad -y^2$$



$$x^3 \quad x^2y \quad xy^2 \quad y^3$$



f. di forma quadratiche



f di base quadratiche

in 3D gli elementi tetraedrici, costituiscono una generalizzazione

La teoria dell'interpolazione di Lagrange, sviluppata su di un intervallo, è semplicemente generalizzabile in 2 (o 3) D

sia  $I_{x_i} = \{x \mid x \in [x_{i-1}, x_i]\}$ ,  $I_{y_j} = \{y \mid y \in [y_{j-1}, y_j]\}$   
il corrispondente rettangolo (o tetraedro) è definito come

$$I_{x_i y_j} = I_{x_i} \times I_{y_j} = \{x, y \mid x \in I_{x_i}, y \in I_{y_j}\} \quad \text{etc}$$

Se la discretizzazione consiste di rettangoli, le interfacce sono linee  $x = \text{cost}$ ,  $y = \text{cost}$ .

In questo caso una interpolante bilineare  $\Rightarrow$  ha intersezioni lineari con i lati ed è ovviamente continua ( $C^0$ ) fra 2 el. adiacenti.

Ad es. si ha

$$u_h^e(x, y) = d_0 + d_1 x + d_2 y + d_3 xy = (b_1 + b_2 x)(c_1 + c_2 y)$$

Il prodotto delle basi monomiali  $(1, x)$  e  $(1, y)$

$$(1, x) \times (1, y) = (1, x, y, xy)$$

è definito tensor-product

Se si usano le funzioni di forme Lagrangiane

eg  $N_1^e = \frac{(1-\xi)}{2}$ ,  $N_2^e = \frac{(1+\xi)}{2}$  nelle due direzioni

si ottengono direttamente le f. base in 2 dimensioni

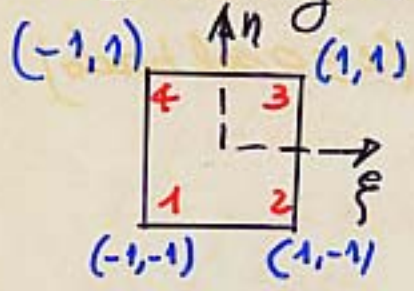
$$\{N_1^e(x), N_2^e(x)\} \times \{N_1^e(y), N_2^e(y)\}$$

ovvero

$$N_{ij}^e(x, y) = \{N_i^e(x) \cdot N_j^e(y)\}$$

A queste famiglie appartengono alcuni degli elementi più comunemente usati.

El. Lagrangiano del 1° ordine



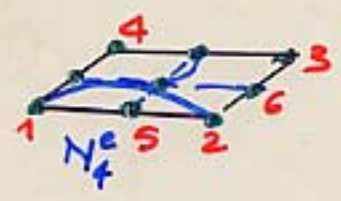
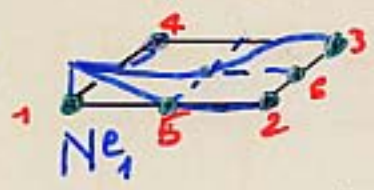
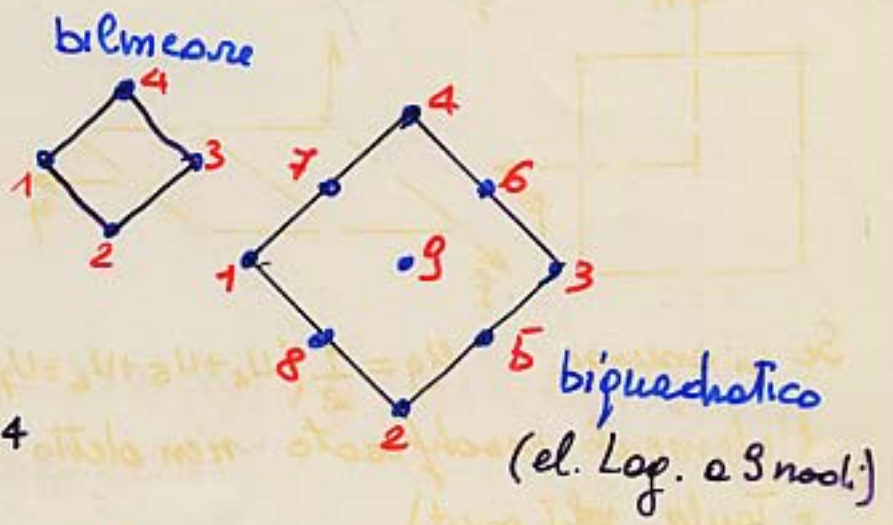
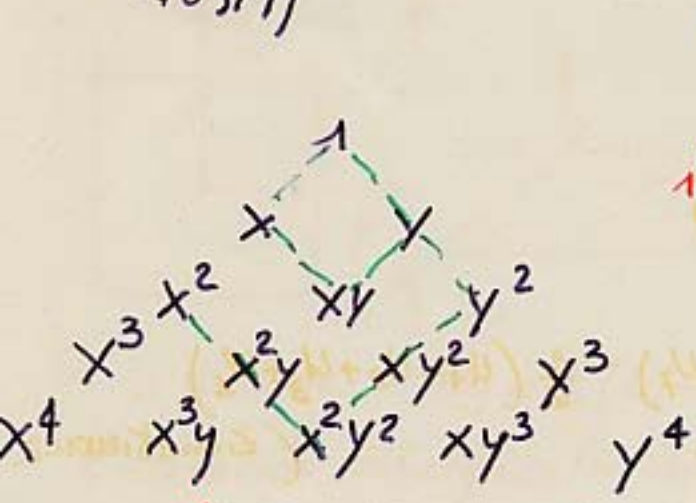
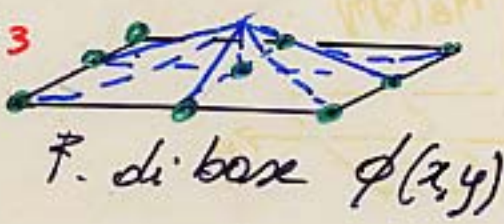
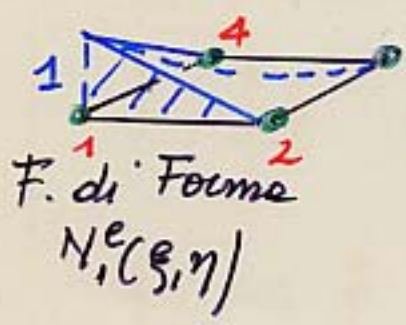
$$N_1(\xi, \eta) = \frac{1}{4}(1-\xi)(1-\eta)$$

$$N_2(\xi, \eta) = \frac{1}{4}\left(\frac{1+\xi}{2}\right)\left(\frac{1-\eta}{2}\right)$$

$$N_3(\xi, \eta) = \frac{1}{4}\left(\frac{1+\xi}{2}\right)\left(\frac{1+\eta}{2}\right)$$

$$N_4(\xi, \eta) = \frac{1}{4}\left(\frac{1-\xi}{2}\right)\left(\frac{1+\eta}{2}\right)$$

$\Rightarrow N_i(\xi, \eta) = \frac{1}{4}(1 \pm \xi)(1 \pm \eta)$



ove come visto

$$N_1^e(\xi) = \frac{1}{2}\xi(\xi-1), \quad N_2^e(\xi) = (1-\xi^2), \quad N_3^e = \frac{1}{2}\xi(\xi+1)$$

$$N_{ij}^e(\xi, \eta) = N_i^e(\xi) N_j^e(\eta) \quad i, j = 1, 3$$

La generalizzazione in 3D è ovvia

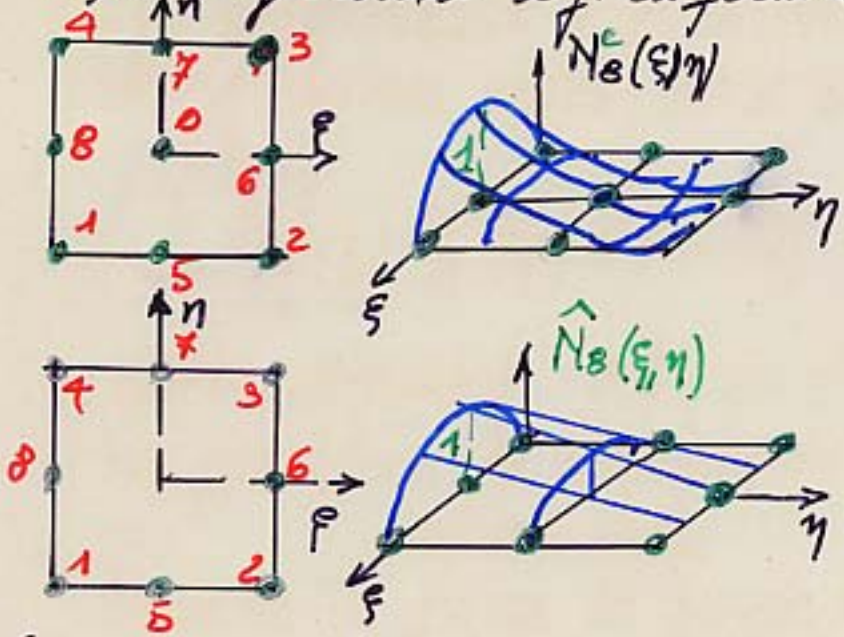
# VINCOLI SULLE f. di FORMA e el. di TRANSIZIONE

Nell'el. biquadrato la funzione di forma associata al nodo interno (nodo "9") è locale ( $i=0$  sul bordo) e può essere facilmente eliminata.

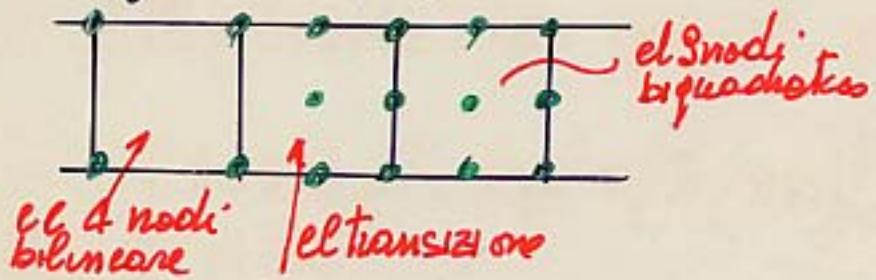
Ciò può essere fatto in 2 modi:

A) a livello algebrico: *condensazione statica* di  $K^e$

B) modificando le f. di forma (secondo ODEN CAREY vol II)



Se si assume  $u_9 = \frac{1}{2}(u_4 + u_5 + u_6 + u_7) - \frac{1}{2}(u_1 + u_2 + u_3 + u_4)$  l'elemento modificato viene detto "SERENDIPITY" (Zienkiewicz e Taylor, vol I op cit)



Di fatto si eliminano le f di forma, nel caso in cui  $N_9^e(\xi, \eta)$  (ODEN e CAREY vol II, K.J. BATHE op. citate)

### Es. FINITI di tipo GERARCHICO

Si tratta di una variante degli e.f. Lagrangiani: visti che consente di ottenere f. interpolanti di tipo polinomiale <sup>di grado più elevato</sup> conservando le funzioni di forma relative all'elemento di ordine inferiore

Per raggiungere questo scopo tutte le nuove funzioni di forma dovranno essere ortogonali in  $\| \cdot \|_E$  fra loro e a quelle precedenti.

Ovvero mantenendo le f. di forma  $N_1^e(\xi)$  e  $N_2^e(\xi)$  dell'el. lineare dovrà risultare:

$$\int_{-1}^1 N_i^e(\xi) N_j^e(\xi) d\xi = \delta_{ij} \quad i, j > 2 \quad \text{e} \quad \int_{-1}^1 N_i^e(\xi) d\xi = 0 \quad i > 2$$

inoltre ovviamente  $N_i^e(\xi = \pm 1) = 0 \quad i > 2$

Ciò giustifica la denominazione **INTERNAL SHAPE FUNCTIONS** ad esse date.

Funzioni di forma di questo tipo sono ottenute (STABO-BABUSKA q.c.) utilizzando i POLINOMI ORTOGONALI DI LEGENDRE

Il Pol. di Legendre di grado  $n \quad n=0, 1, 2, \dots, p$  è la soluzione della seguente eq. dif. detta di Legendre

$$(1+x^2)y'' - 2xy' + [n(n+1)]y = 0 \quad -1 \leq x \leq +1$$

e si ha:

$$P_0(x) = 1$$

$$P_1(x) = x$$

$$P_2(x) = \frac{1}{2}(3x^2 - 1)$$

$$P_3(x) = \frac{1}{2}(5x^3 - 3x) \dots$$

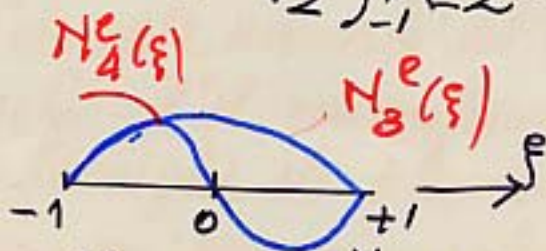
Le "shape functions" risultano così definite

$$N_{J+1} := \sqrt{\frac{2J-1}{2}} \int_{-1}^{\xi} P_{J-1}(t) dt \quad J=2,3,4 \dots$$

$$\Rightarrow$$

$$J=2 \quad N_3^e = \sqrt{\frac{3}{2}} \int_{-1}^{\xi} t dt = \sqrt{\frac{3}{2}} \left( \frac{\xi^2 - 1}{2} \right)$$

$$J=3 \quad N_4^e = \sqrt{\frac{5}{2}} \int_{-1}^{\xi} \left[ \frac{1}{2}(3t^2 - 1) \right] dt = \frac{5}{2\sqrt{10}} \xi (\xi^2 - 1)$$



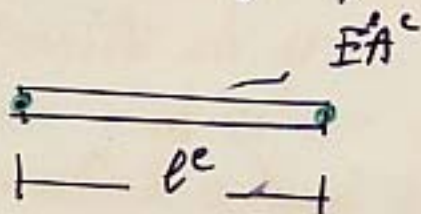
$$u^h(\xi) = \sum_{i=1}^N N_i^e(\xi) U_i = U_1 \left( \frac{1-\xi}{2} \right) + U_2 \left( \frac{1+\xi}{2} \right) + U_3 N_3(\xi) + \dots$$

N.B.

Le nuove variabili  $U_i$  ( $i > 2$ ) non hanno il significato di valore di  $u^x$  in un nodo.

Per le proprietà di ortogonalità i termini aggiuntivi della matrice di rigidezza si trovano solo sulle diag. principali

$E_s$  Aste sog. def. anisole



$$K^e = \frac{EA^e}{l^e} \begin{vmatrix} 1 & -1 & 0 \\ -1 & 1 & 0 \\ 0 & 0 & 2/3 \end{vmatrix}$$

el linear  
el quadratico

El di ordine superiore possono pertanto essere ottenuti ~~aggiunti~~ aggiungendo i termini cubici, quartici... in modo particolarmente efficiente migliorando in tal modo le approssimazioni

**p-Convergence** (Babuska...)

### ELEMENTI DI TIPO HERMITIANO

Nei pb retti: de eq. diff. del IV ordine (travi; piastre  
certi pb di fluidi viscosi) la forma debole  
comporta le derivate II delle funzioni trial e test.  
Cio' comporta che le derivate I e II devono essere di qualche  
integrabile (sec. Lebesgue) e che (f. di GAUSS-GREEN)  
le derivate normali ai lati devono essere continue  
perche' l'el. sia conforme

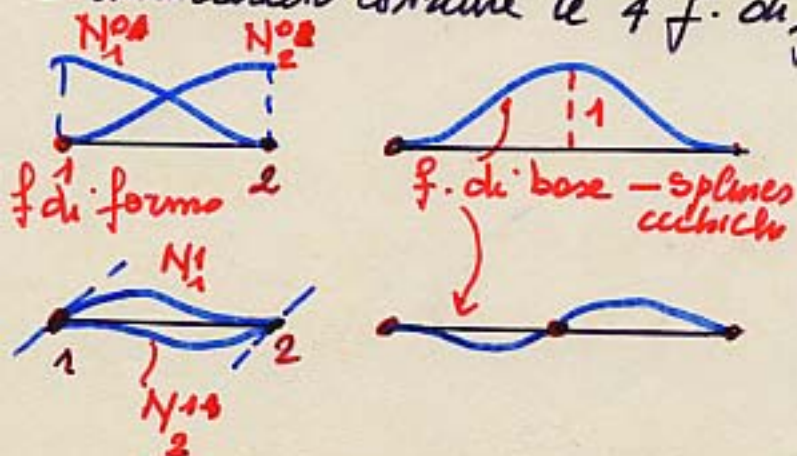
Le famiglie di elementi di Hermite, in cui le  
funzioni base sono polinomi  $C^1$  e tratti,  
sono state introdotte per risolvere questi pb.

Pb 1.D (per 203D si rimanda ai testi citati)

Si consideri per semplicita' un el. di riferimento  
(o master el)  $-1 \leq x \leq 1$

Per garantire le  $C^1$  continuita' di  $u$ , si devono  
utilizzare splines cubiche, e le f. di forma  
devono essere di 2 tipi

Continuita' di  $u$       $N_i^0(x_k) = \delta_{ik}$       $\frac{dN_i^0}{dx}(x_k) = 0$   
" di  $u'$       $N_i^1(x_k) = 0$       $\frac{dN_i^1}{dx}(x_k) = \delta_{ik}$   
E' immediato costruire le 4 f. di forma



$$N_1^0(x) = \frac{1}{4}(x-1)^2(x+2)$$

$$N_2^0(x) = \frac{1}{4}(x+1)^2(2-x)$$

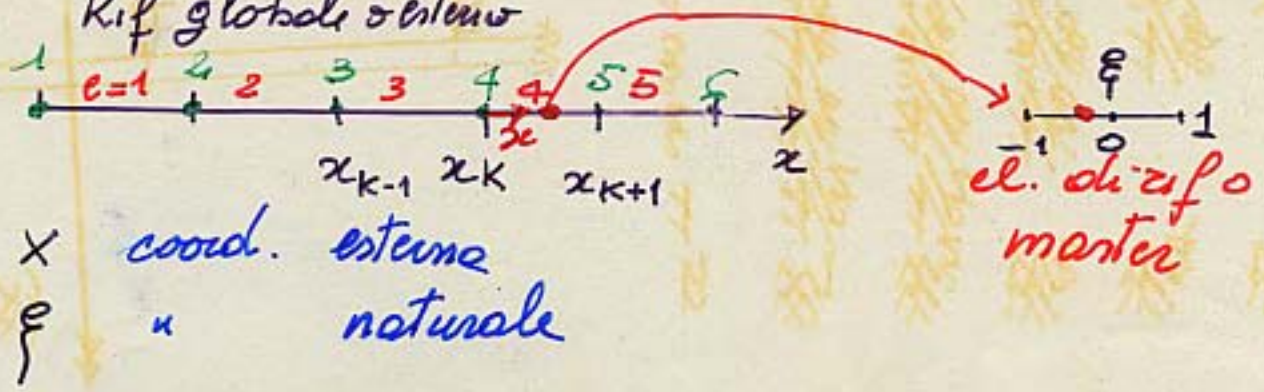
$$N_1^1(x) = \frac{1}{4}(x-1)^2(x+1)$$

$$N_2^1(x) = \frac{1}{4}(x+1)^2(x-1)$$

che come ben noto sono le sol. dell'eq lineare elastica  
di una trave inflessa. Esempio: un nodo  $u=1$  e gli altri  $=0$

# COORDINATE NATURALI e "MASTER" EL.

Rif globale sistema



E' computazionalmente conveniente operare nell'el. di riferimento o master

$$\Omega^e := \{x \mid x_k \leq x \leq x_{k+1}\} \quad \xi \in [-1, +1] := \Omega_{rif}$$

Trasf. di coordinate

$$x = \frac{1-\xi}{2} x_k + \frac{1+\xi}{2} x_{k+1} =$$

$$= N_1^e(\xi) x_k + N_2^e(\xi) x_{k+1} = Q_k(\xi)$$

si ottiene

$$dx = J d\xi \quad J = \frac{dQ_k}{d\xi} = \frac{x_{k+1} - x_k}{2}$$

J = JACOBIANO o gradiente delle trasf. di coordinate

In questo caso e' facile definire anche la trasformazione inversa (inverse mapping)

$$\xi = Q_k^{-1}(x) = \frac{2}{x_{k+1} - x_k} \left[ x - \frac{(x_k + x_{k+1})}{2} \right]$$

si ottiene che

$$\epsilon_x = \frac{du}{dx} = \frac{du}{d\xi} \left( \frac{d\xi}{dx} \right) = J^{-1}$$

# FORMULE DI QUADRATURA

-38-

## FORMULA DI NEWTON-COTES

(Esatto di un polinomio che coincide con  $f$  in  $n+1$  pts equispaziati)

$$\int_a^b f(x) dx \approx (b-a) \sum_{i=1}^{n+1} w_i f(\bar{x}_i)$$

$w_i$  pesi,  $\bar{x}_i$  pts base o knots ove si valuta la  $f$

### $n=1$ REGOLA DEL TRAPEZIO

$$\int_a^b f(x) dx = \frac{b-a}{2} [f(a) + f(b)] + O(h)^3$$

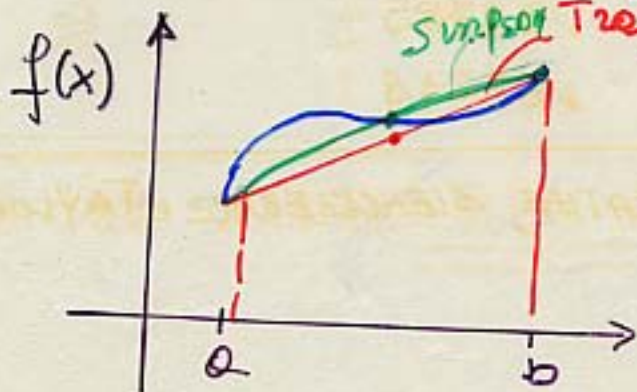
ove  $h = (b-a)$

### $n=2$ REGOLA DI CAVALIERI SIMPSON

$$\int_a^b f(x) dx = \frac{b-a}{6} [f(a) + 4f(\frac{a+b}{2}) + f(b)] + O(h)^4$$

$n=3, 4, 5, \dots$

Newton-Cotes integra esattamente un polinomio dispari di grado  $n$ , pari di grado  $n+1$



$n$	$w_1$	$w_2$	$w_3$	$w_4$	$w_5$
1	1/2	1/2			
2	1/6	4/6	1/6		
3	1/8	3/8	3/8	1/8	
4	7/90	32/90	12/90	32/90	7/90

FORMULA DI GAUSS-LEGENDRE (QUADRATURA DI GAUSS)

$$\int_{-1}^{+1} f(\xi) d\xi \approx w_1 f(\xi_1) + w_2 f(\xi_2) + \dots + w_N f(\xi_N)$$

$$= \sum_{g=1}^N w_g f(\xi_g) + O(1)^{2n+2}$$

$w_g$  = Pesi di GAUSS

$$w_g = \int_{-1}^{+1} P_g^G(\xi) d\xi$$

ove  $P_g^G(\xi) = \prod_{h \neq g} \frac{(\xi_h - \xi)}{(\xi_h - \xi_g)}$

$\xi_g$  = PUNTI DI GAUSS

si identificano con gli zeri del Polinomio di Legendre di grado  $G$

La formula integra esattamente un polinomio di grado  $2G-1$ . G. Legendre richiede un numero minore di pti di Newton-Cotes, che viene usata quando valutarci f

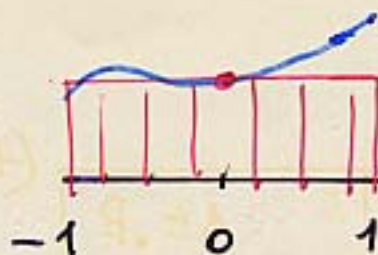
G	$\xi_g$	$w_g$	apli estremi (c.p. H estremi di una terna eplestia)
1	0.	2.0	
2	$\pm \cdot \sqrt{3}/3$	1.0	
3	I. 77459	. 55555	
	0.	. 88888	
4	I. 86113	. 34785	
	I. 33998	. 65214	

Si Veda L. Comodi vol II, K.J. BATHE, ZIENCKIEWICZ e TAYLOR..

Remark. | f deve essere una funzione <sup>ovunque</sup> definita in  $-1 \leq \xi \leq 1$ , continua ed integrabile

Si osserva che con  $G=1$

$$\int_{-1}^{+1} f(\xi) d\xi \approx 2 \cdot f(0)$$

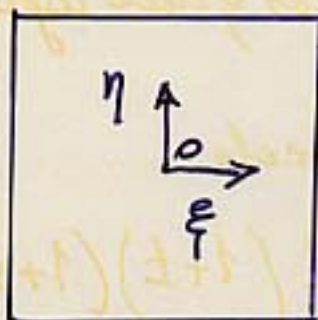


⇒ T. del valor medio

per  $G=2$  è più preciso di CAVALIERI-SIMPSON

su di un dominio quadrato

$$\begin{aligned} -1 \leq \xi \leq +1 \\ -1 \leq \eta \leq +1 \end{aligned}$$

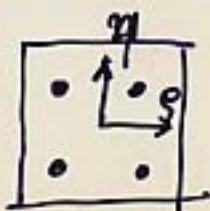


$$\int_{-1}^{+1} \int_{-1}^{+1} f(\xi, \eta) d\xi d\eta \approx \sum_{h=1}^H \sum_{g=1}^G w_h w_g f(\xi_g, \eta_h)$$

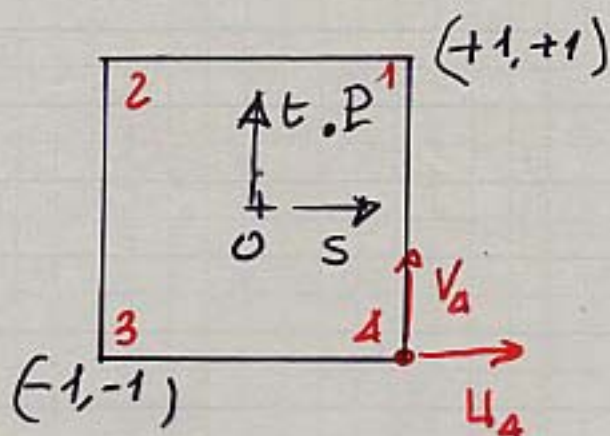
Di regola  $G=H$ , il che significa uguale precisione nelle 2 dimensioni.

- NUMERO MINIMO di pti di GAUSS

Nel caso di elementi non quadrati (distorti) non si può usare un numero di pti di Gauss inferiore a quello che dà il valore esatto dell'area o del volume, in genere  $2 \times 2$



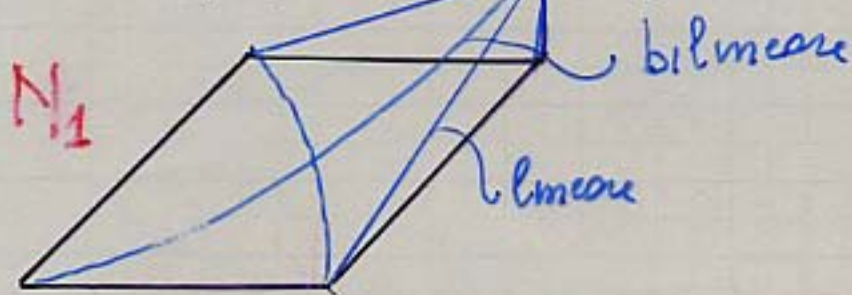
$$\begin{aligned} \xi_g = \eta_h = \pm 0.57735 \\ w_g = w_h = 1.0 \end{aligned}$$



- Se il riferimento locale  $(s, t)$  differisce per una traslazione da quello globale  $(x, y)$  coincide con quello logaritmico visto

- Funzioni di forma nel riferimento locale

$$N_i = \frac{1}{4} (1 \pm t) (1 \pm s) \Rightarrow N_1 = \frac{1}{4} (1+t)(1+s)$$



Per ottenere un quadrilatero nel riferimento globale occorre esprimere le coordinate del generico pto P dell'elemento in funzione delle sue coordinate locali.

Questi elementi sono detti ISOPARAMETRICI

perché a questo fine si utilizzano le stesse funzioni di forma impiegate

per approssimare il campo di spostamento

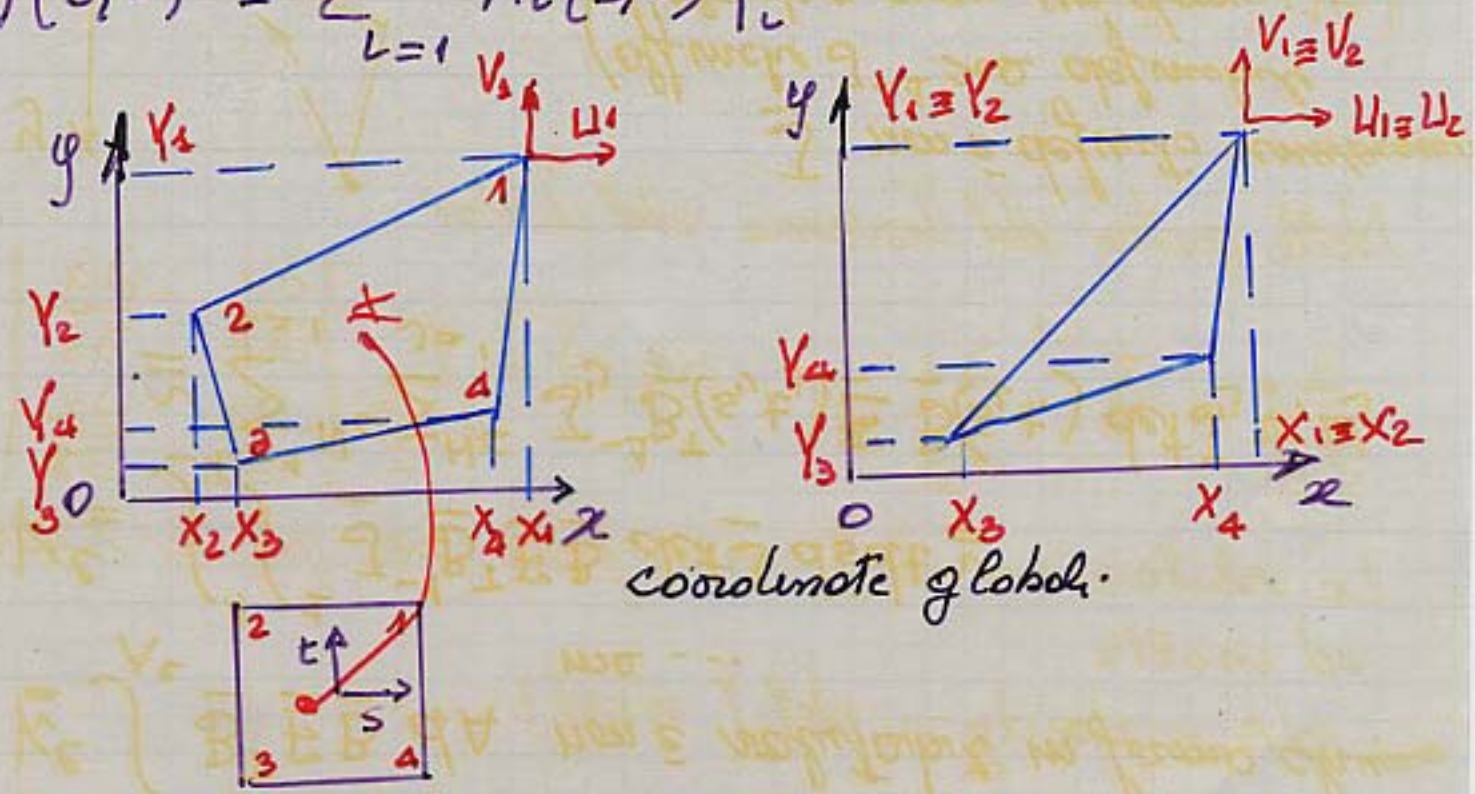
$$u(s, t) = \sum_{i=1}^4 N_i(s, t) U_i$$

$$v(s, t) = \sum_{i=1}^4 N_i(s, t) V_i$$

e contemporaneamente

$$x(s, t) = \sum_{i=1}^4 N_i(s, t) X_i \quad (*)$$

$$y(s, t) = \sum_{i=1}^4 N_i(s, t) Y_i$$



coordinate globali.

coordinate naturali.

Ovviamente le deformazioni vanno volute nel riferimento globale ed esterno

$$\epsilon_{xx} = \frac{\partial u}{\partial x} = \frac{\partial u(s, t)}{\partial s} \cdot \frac{\partial s}{\partial x} + \frac{\partial u(s, t)}{\partial t} \frac{\partial t}{\partial x} \dots \text{etc}$$

le (\*) consentono di volute  $\frac{\partial x}{\partial s}$  ----, mentre non sono note esplicitamente

$$\frac{\partial s}{\partial x}, \frac{\partial s}{\partial y}, \frac{\partial t}{\partial x}, \frac{\partial t}{\partial y}$$

tuttavia con riferimento al generico pto P è possibile scrivere:

(N.B. per  $s=s_p, t=t_p$  le grandezze sono "numeri")

$$\begin{vmatrix} \frac{\partial \cdot}{\partial s} \\ \frac{\partial \cdot}{\partial t} \end{vmatrix} = \begin{vmatrix} \frac{\partial x}{\partial s} & \frac{\partial y}{\partial s} \\ \frac{\partial x}{\partial t} & \frac{\partial y}{\partial t} \end{vmatrix} \begin{vmatrix} \frac{\partial \cdot}{\partial x} \\ \frac{\partial \cdot}{\partial y} \end{vmatrix} \Rightarrow \frac{\partial \cdot}{\partial s} = \underline{J} \frac{\partial \cdot}{\partial x}$$

$\underline{J}$  (Jacobiano della trasformazione)

Nelle ipotesi del Teorema del Dini

$$\frac{\partial \cdot}{\partial x} = \underline{J}^{-1} \frac{\partial \cdot}{\partial s} \quad \text{ove } \underline{J}^{-1} = \frac{1}{\det \underline{J}} \begin{vmatrix} \frac{\partial y}{\partial t} & -\frac{\partial y}{\partial s} \\ -\frac{\partial x}{\partial t} & \frac{\partial x}{\partial s} \end{vmatrix}$$

La valutazione di  $\underline{J}$  viene fatta nei pti di GAUSS ed inoltre

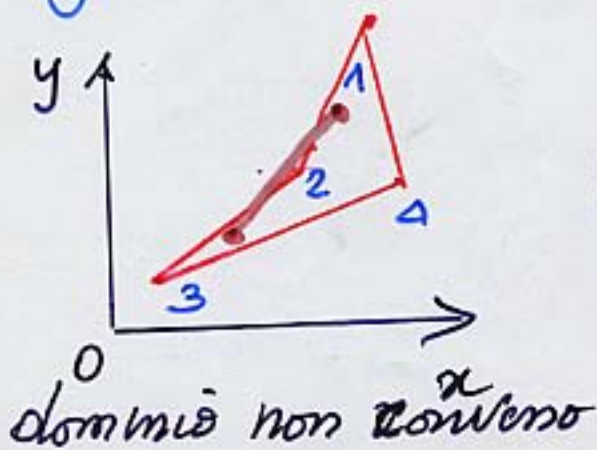
$$dA = dx dy = \det \underline{J} ds dt$$

$K^e \int_{A^e} \underline{B}^T \underline{E} \underline{B} dA$  non è valutabile in forma chiusa ma ...

$$K^e = \int_{-1}^1 \int_{-1}^1 \underline{J}^{-1} \underline{B}^T \underline{E} \underline{B} \det \underline{J} ds dt \approx$$

$$\approx \sum_{l=1}^{N_G} \sum_{j=1}^{N_G} \underline{J}_{ij}^{-1} \underline{B}^T(s_i, t_j) \underline{E} \underline{B}(s_i, t_j) \det \underline{J}_{ij} v_i w_j$$

Regole di "Irons"  $N_G$  minimo  $\Rightarrow A^e$  valutato esattamente

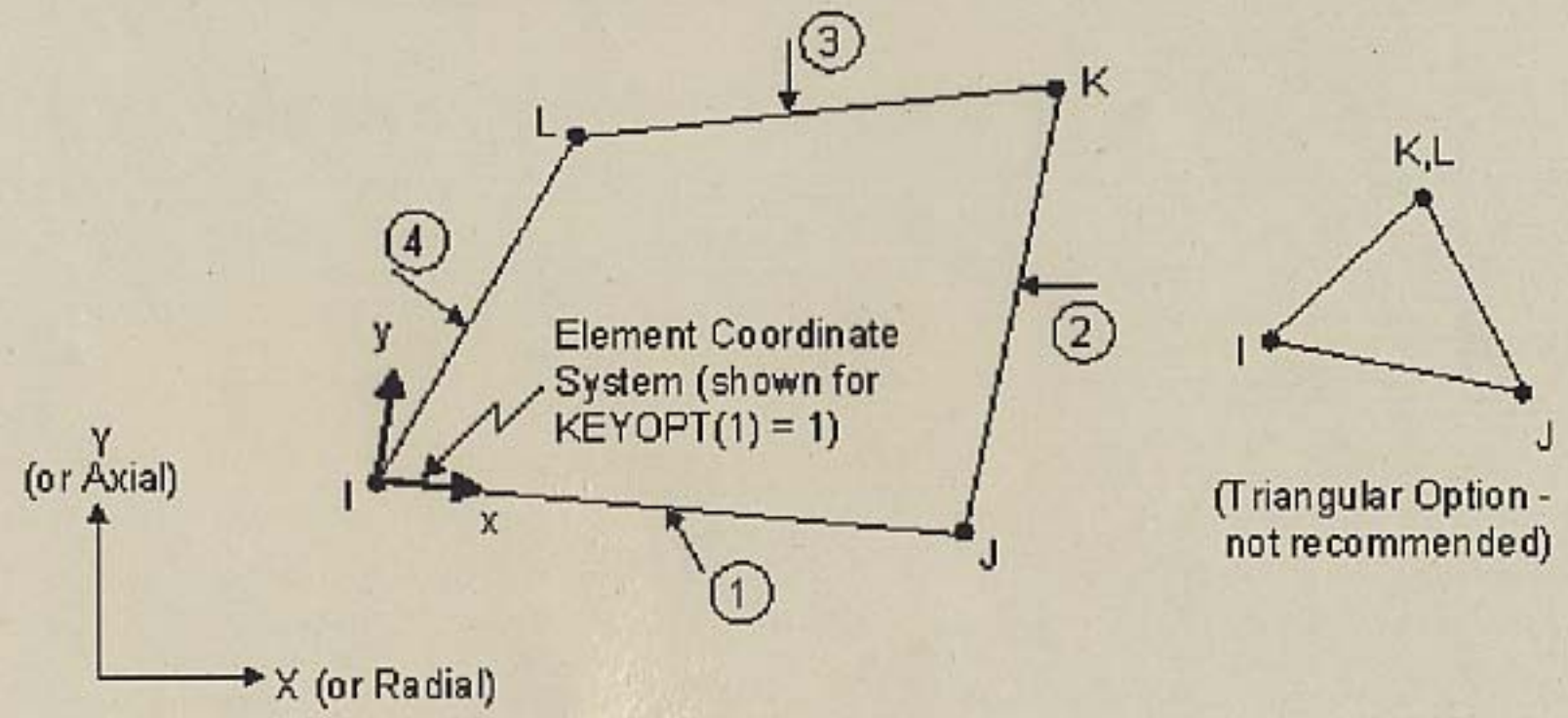


$\underline{J}$  non è definito universalmente (offinche  $\underline{J}^{-1}$  sia definibile ( $A^e$  deve essere un dominio convesso, i.e. gli angoli  $< \pi$ ))

# PQB Element in ANSYS



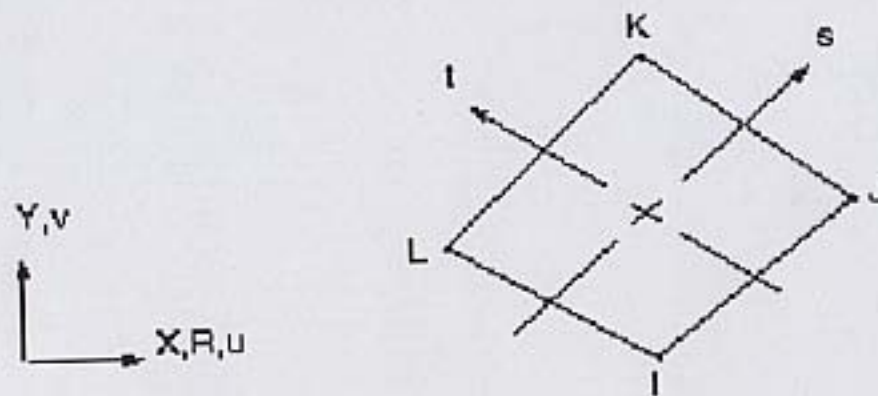
- The PQB element in ANSYS is called the PLANE42 2-D Structural Solid



# Natural Coordinates



- ANSYS (and most other FE programs) use natural coordinates to define shape functions



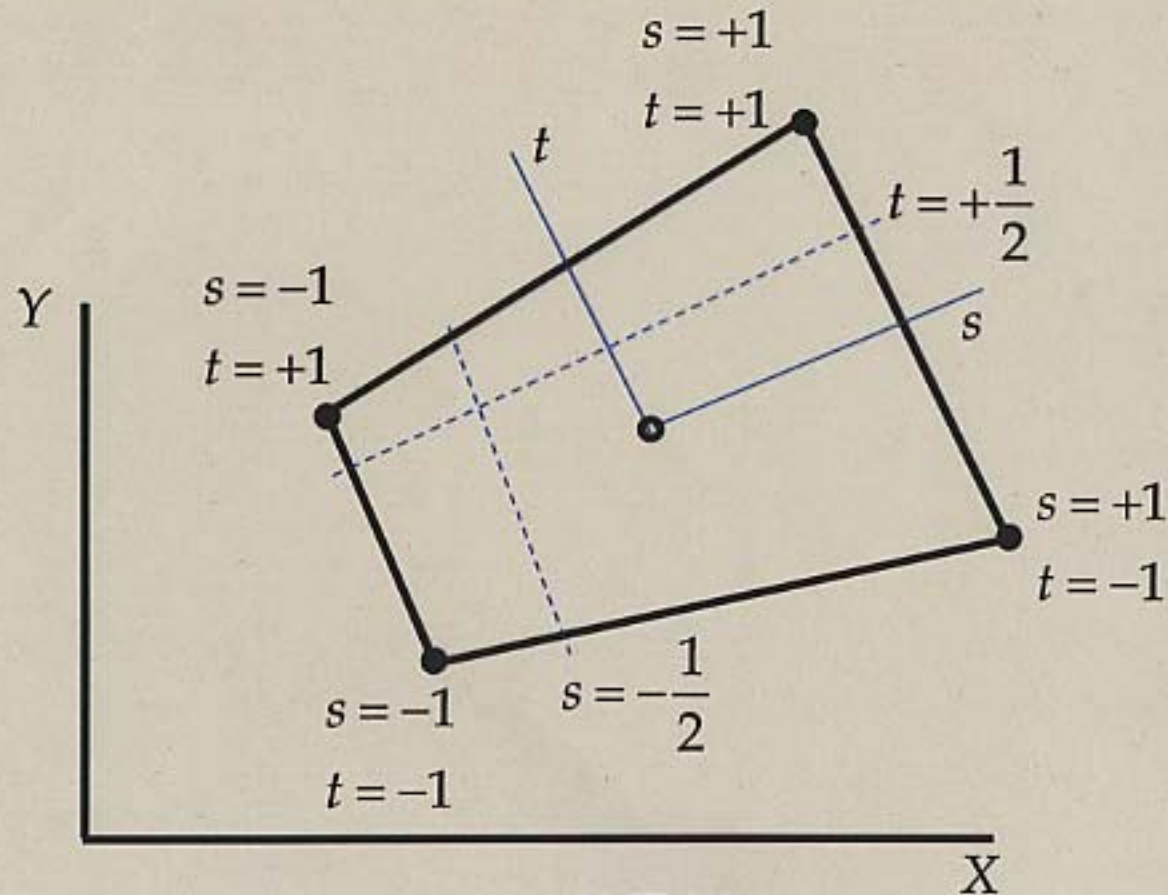
$$u = \frac{1}{4} (u_I (1-s)(1-t) + u_J (1+s)(1-t) + u_K (1+s)(1+t) + u_L (1-s)(1+t))$$

$$v = \frac{1}{4} (v_I (1-s) \dots \text{(analogous to } u))$$

# Natural Coordinates (cont'd)



- Natural coordinates for quadrilaterals are defined as



## Natural Coordinates (cont'd)

---



- This transforms the expression for the stiffness matrix to

$$\mathbf{k} = h \int_{-1}^1 \int_{-1}^1 \mathbf{B}^T \mathbf{E} \mathbf{B} ds dt$$

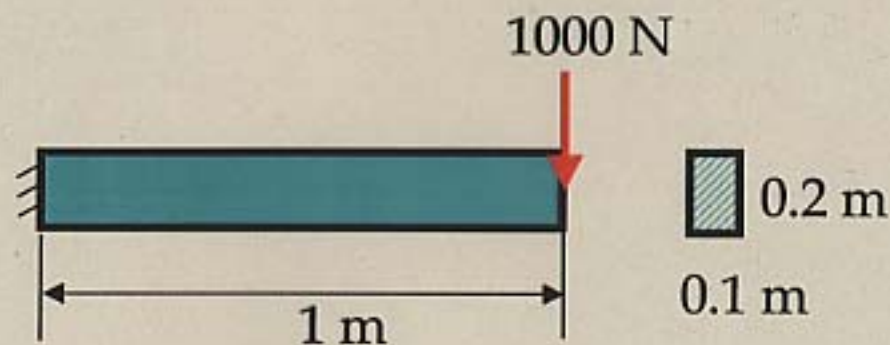
- Additional mathematical operations required to transform strains and stresses from natural to global coordinates



## Example 1: Beam Model Using 2D Elements

---

- A cantilevered beam 1 m long, 0.1 m wide, and 0.2 m high is loaded by an end load of 1000 N. The Young's modulus for the material is 200 GPa. Model a section of the beam using PLANE2 and PLANE42 elements and compare the maximum stresses produced with the exact solution.



## Example 1 (cont'd)



- The maximum stress in the beam using “exact” methods is

$$\sigma_{x,\max} = \frac{Mc}{I} = \frac{(1000)(1)(0.1)}{\frac{1}{12}(0.1)(0.2)^3} = 1.500 \text{ MPa}$$

- The maximum deflection (at the free end) using “exact” methods is

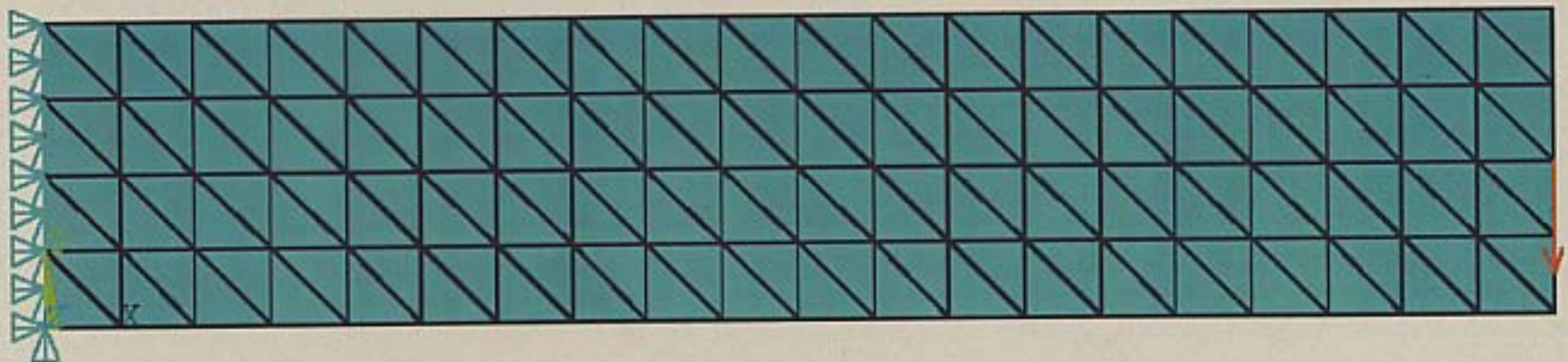
$$v_{\max} = \frac{FL^3}{3EI} = \frac{(1000)(1)^3}{3(200 \times 10^9) \frac{1}{12}(0.1)(0.2)^3} = 2.5 \times 10^{-5} \text{ m}$$



# Example 1 (cont'd)

---

- When the beam is modeled as a set of plane stress elements the load at its end must be divided by its width to produce a load per unit width; thus the load applied at the end must be  $(1000/0.1 = 10000 \text{ N/m})$
- Using PLANE2 elements and mapped meshing (with an element side of 0.05 m) we obtain in ANSYS





# Example 1 (cont'd)

- ANSYS produces the following solution for this model (contour plot of SX on deformed shape)

DMX = .259E-04  
SMN = -.165E+07  
SMX = .168E+07

U  
F



## Example 1 (cont'd)

---

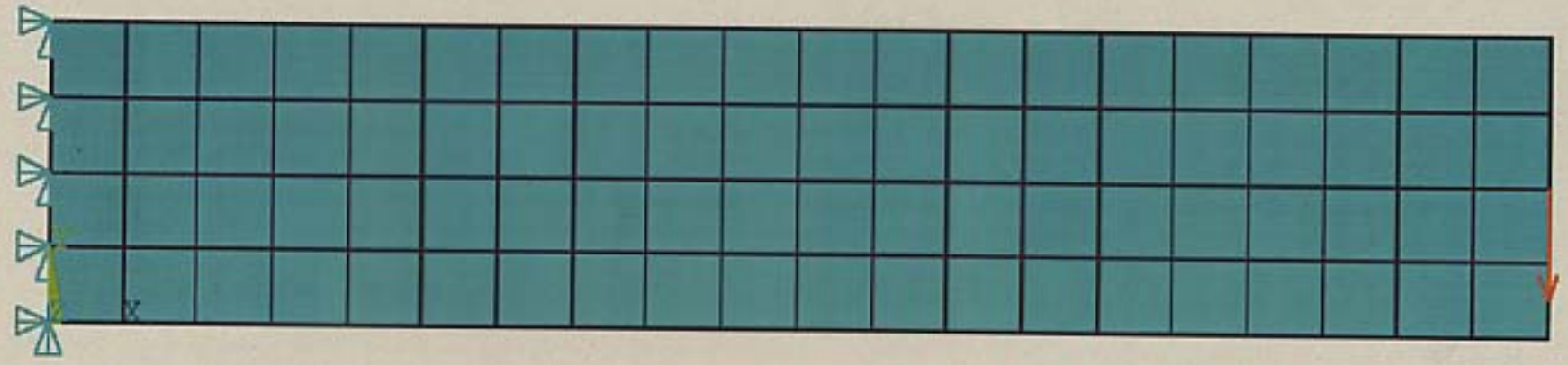


- The maximum axial stress predicted by this model is 1.68 Mpa, which is 12% higher than the exact solution
- Similarly the maximum deflection predicted by this model is  $2.59 \times 10^{-5}$  m, which is 3.6% higher than the exact solution

# Example 1 (cont'd)



- Using PLANE42 elements and mapped meshing (with an element side of 0.05 m) we obtain in ANSYS

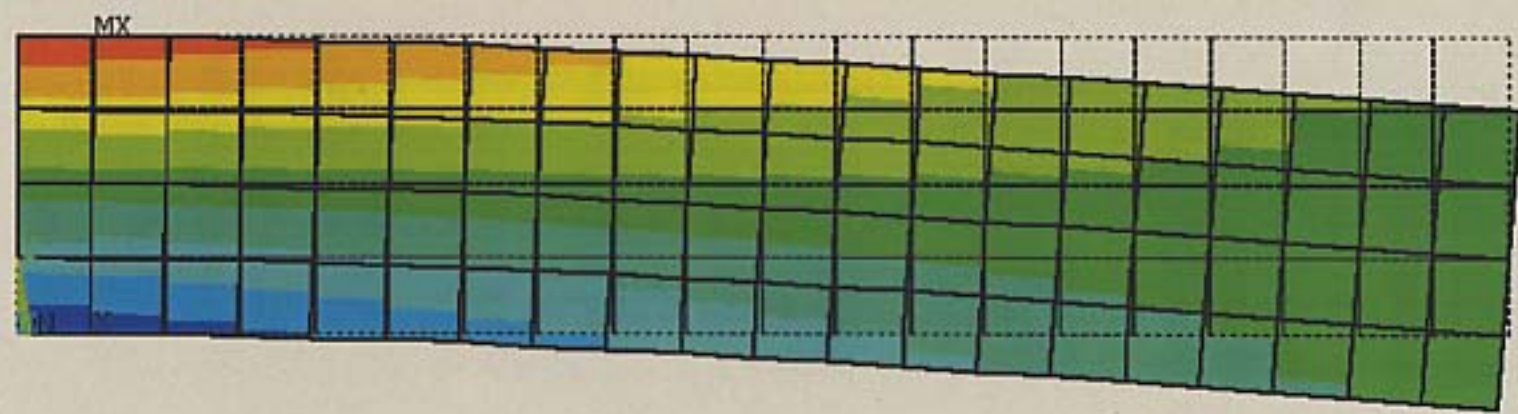


# Example 1(cont'd)



- ANSYS produces the following solution for this model (contour plot of SX on deformed shape)

DMX = .258E-04  
SMN = -.151E+07  
SMX = .151E+07



## Example 1 (cont'd)

---



- ❑ The maximum axial stress predicted by this model is 1.51 Mpa, which is 0.7% higher than the exact solution
- ❑ Similarly the maximum deflection predicted by this model is  $2.58 \times 10^{-5}$  m, which is 3.2% higher than the exact solution
- ❑ Note also that the  $x$ -direction stresses vary only in the  $y$  direction in each element



# Example 1 (cont'd)

---

- ❑ The PLANE42 element provides a better approximation with fewer elements and DOF than the PLANE2 element in this case because the stress variation in the  $y$  direction is linear in the exact solution
- ❑ The PLANE2 element may provide a better approximation in instances when the bending moment varies quadratically or at a higher order in the  $x$  direction

# AUTOVALORI E AUTOVETTORI

56 <sup>40</sup>

A autovalori = 0  
 → moti rigidi:

... i modi puramente estensivi sono + rigidi. I modi flessionali possono essere obliquati:

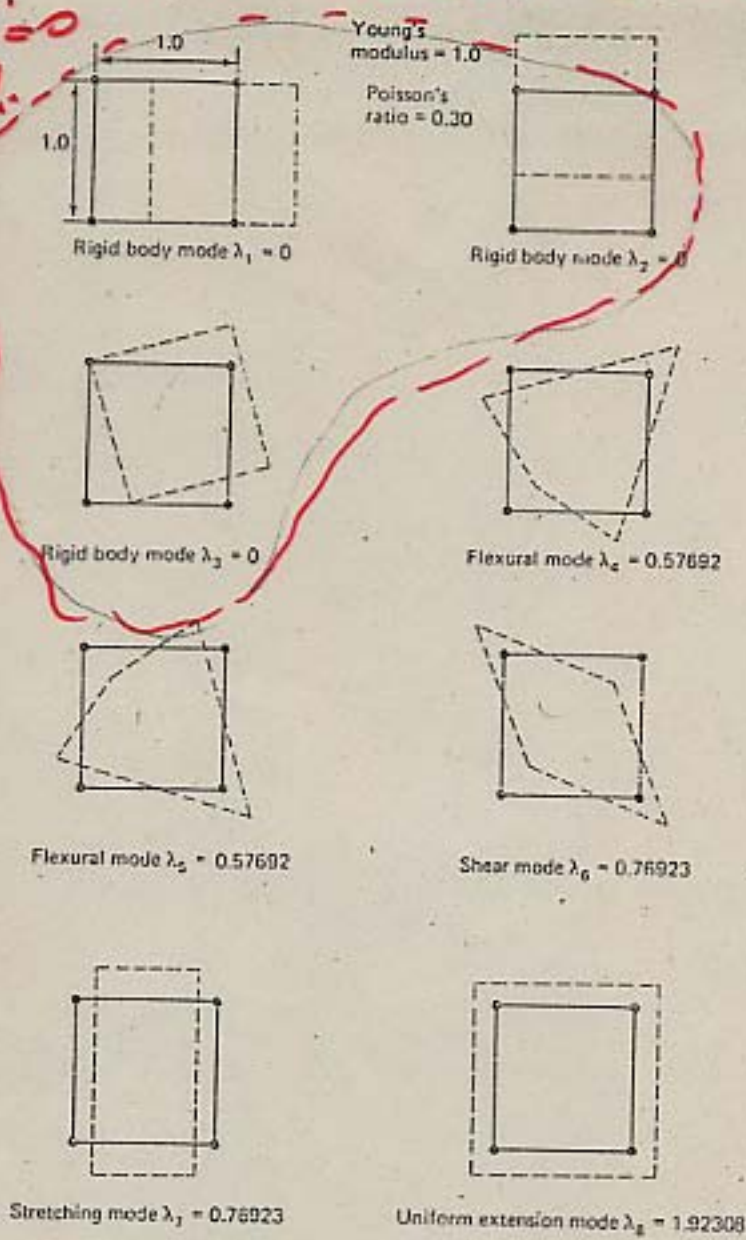
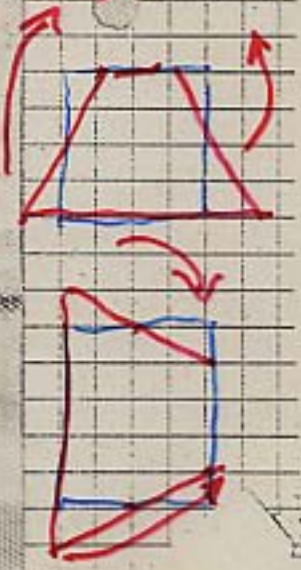


Figure 3.15. Eigenvectors and eigenvalues of four-node plane strain element.

Erguendo un'analisi spettrale più la  $K^e$  dell'elemento in esame si ha:

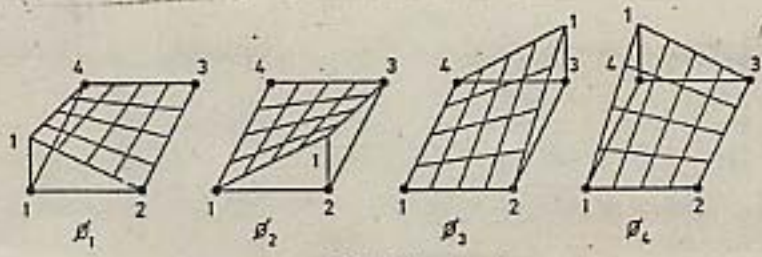
Osservate come si abbiano 2 autovalori multipli  $\lambda_4, \lambda_5$  e  $\lambda_6, \lambda_7$ . Il modo puramente estensivale è quello a cui corrisponde  $\lambda_{max}$ , e quindi quello a cui corrisponde il minimo di rigidezza.

Table 6.4 STIFFNESS MATRIX FOR SIMPLE RECTANGULAR ELEMENT

	$U_1$	$V_1$	$U_2$	$V_2$	$U_3$	$V_3$	$U_4$	$V_4$
$K = \frac{Et}{12(1-\nu^2)}$	$4\beta + 2(1-\nu)\delta$	$\frac{3}{2}(1+\delta)$	$2\beta - 2(1-\nu)\delta$	$\frac{3}{2}(1-3\nu)$	$-2\beta - (1-\nu)\delta$	$-3(1+\nu)/2$	$-4\beta + (1-\nu)\delta$	$-3(1-3\nu)/2$
		$4/\beta + 2(1+\nu)\delta$	$-\frac{3}{2}(1-3\nu)$	$-4/\beta + (1-\nu)\delta$	$-3(1+\nu)/2$	$-2/\beta - (1-\nu)\delta$	$3(1-3\nu)/2$	$2/\beta - 2(1-\nu)\delta$
			$4\beta + 2(1-\nu)\delta$	$-\frac{3}{2}(1+\nu)$	$-4\beta + (1-\nu)\delta$	$3(1-3\nu)/2$	$-2\beta - (1-\nu)\delta$	$3(1+\nu)/2$
				$4/\beta + (1-\nu)\delta$	$-3(1-3\nu)/2$	$2/\beta - 2(1-\nu)\delta$	$3(1+\nu)/2$	$-2/\beta - (1-\nu)\delta$
					$4\beta + 2(1-\nu)\delta$	$3(1+\nu)/2$	$2\beta - 2(1-\nu)\delta$	$3(1-3\nu)/2$
						$4/\beta + 2(1-\nu)\delta$	$-3(1-3\nu)/2$	$-4/\beta + 2(1-\nu)\delta$
							$4\beta + 2(1-\nu)\delta$	$-3(1+\nu)/2$
								$4/\beta + 2(1-\nu)\delta$

Symm.

$\beta = \Delta x$



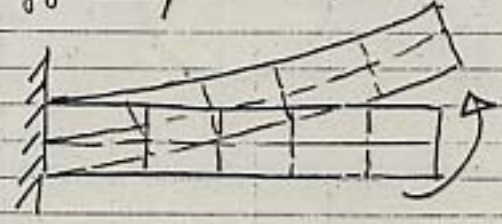
$$\epsilon_{01} = T \begin{bmatrix} dx \\ dy \\ -dx dy \end{bmatrix}$$

ma anche la matrice di legame elastico risulta più complessa.

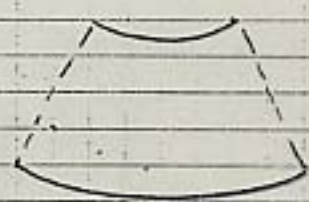
Nell'ipotesi di isotropia  $dx dy = 0$ , di isotropia  $dx = dy = d$

Elemento Rettangolare del I° ordine modificato

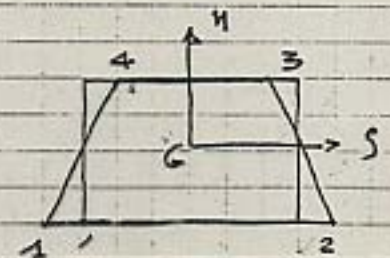
Si è osservato che questo elemento converge in modo relativamente lento nel caso di lastre snelle (travi) soggette prevalentemente a flessione.



Assoluta - Flessione pura



Deformata esatta (Flessione cilindrica)



Deformata dell'elemento

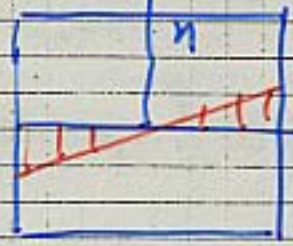
$$v_1 = v_2 = v_3 = v_4 = 0$$

$$-u_1 = u_2 = u_4 = -u_3$$

È evidente dalla figura che la deformata dell'elemento (bending mode) approssima la deformata "esatta" delle travi delle travi.

Si osserva però che in una trave soggetta a flessione pura gli scorrimenti  $\gamma_{xy}$  e le tensioni tangenziali  $\tau_{xy}$  risultano nulli ovunque.

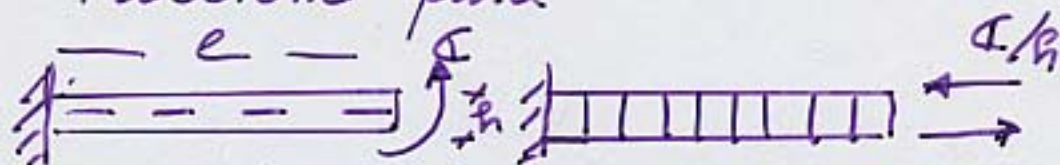
L'elemento non è in grado di riprodurre questa circostanza.



"SHEAR LOCKING"

1 pt Gauss (bivariate)  $\rightarrow$  const. shear  
"Incompatible"

Flessione pura



$$v = \frac{cL^2}{2ES}$$

Modello e.f.

$$\sigma_z \max = \frac{M}{W}$$

errore > 30%

$$y = z = 0$$

En. def. sol. Esatta  $\bar{\Phi} = \int_V \frac{\sigma_z^2}{2E} A dz$

Sol. e.f.

$$y_{xy} = \frac{U_1}{2b} (1-s) - \frac{U_1}{2b} (1+s) \Rightarrow \tau = G\gamma$$

$$\bar{\Phi}^T = \int_{-1}^1 \int_{-1}^1 \frac{1}{2} \frac{\tau^2}{2G} ds dt = \frac{1}{2} G \int_{-1}^1 \int_{-1}^1 \gamma_{xy}^2(s,t) ds dt$$

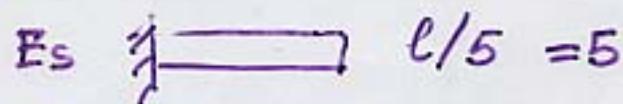
PARASITIC SHEAR ENERGY

per  $h \rightarrow 0 \bar{\Phi}^T \not\rightarrow 0 \Rightarrow$  LOCKING.

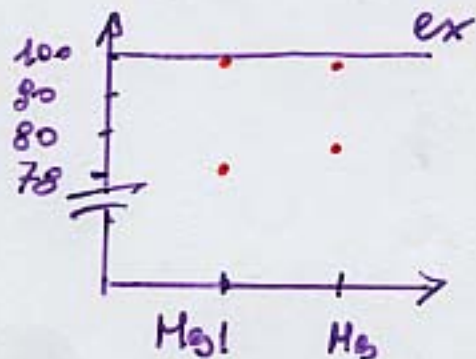
Rimedio: Annullare  $\bar{\Phi}^T$

Il modo + semplice è integrare questo termine con 1 solo pt di Gauss (integrazione riolotta selettiva) ove  $\gamma(s=0, t=0) \equiv 0$

N.B. questo elemento non è conforme (è talvolta detto con mesh incompatibili)



sol ex 103	Mesh <sub>1</sub>	Mesh <sub>2</sub>
Quadril.	70,1	73,7
Incomp.	<u>101,5</u>	<u>101,3</u>



N.B. L'el. modificato mostra una convergenza non uniforme come è tipico degli el. non compatibili

4-node		2 x 2	—
4-node distorted		2 x 2	—
8-node		3 x 3	2 x 2
8-node distorted		3 x 3	2 x 2
9-node		3 x 3	2 x 2
9-node distorted		3 x 3	2 x 2

TABLE 5.5 Gauss numerical integration orders in evaluation of stiffness matrices of two-dimensional rectangular elements (use of Table 5.2).

16-node		4 x 4	3 x 3
16-node distorted		4 x 4	3 x 3

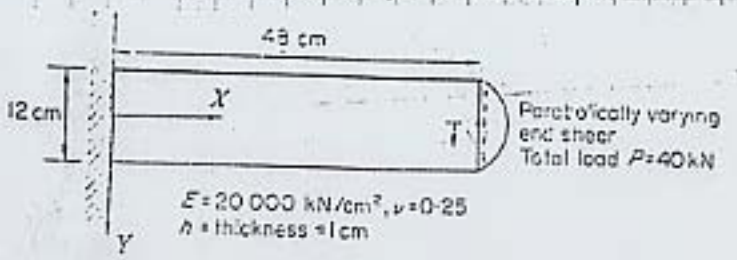
TABLE 5.5 (cont.)

Type of Problem	Element			
Truss or cable	2-node		Three-dimensional beam	3-node or 4-node
Two-dimensional Plane stress Plane strain Axisymmetric	8-node or 9-node		Plate	9-node
Three-dimensional	20-node		Shell	9-nodes or 16-nodes

TABLE 5.6 Isoparametric elements usually effective in analysis.

TABLE 5.6 (cont.)

# TRIANGOLARI



Beam and load system

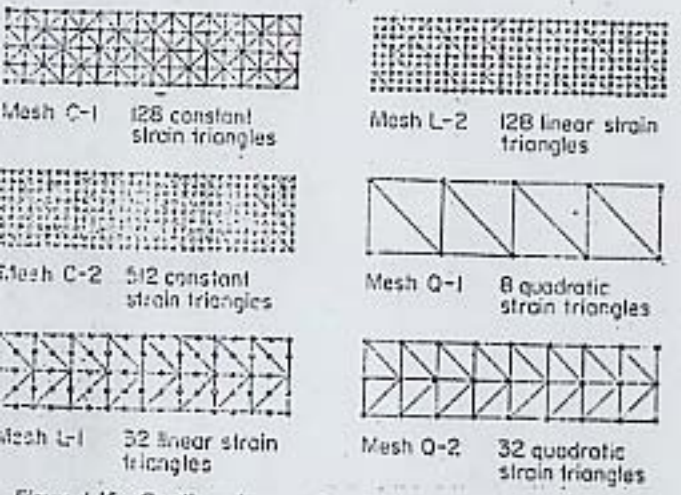


Figure 4.15 Cantilever beam under end shear load—Triangular meshes

Table 4.1 CANTILEVER BEAM: COMPARISON BETWEEN CONSTANT, LINEAR AND QUADRATIC STRAIN MESHES SHOWN IN FIGURE 4.15

Deflection and normal stress				
Element	Mesh	Total number of nodal unknowns	Tip deflection $v_x$ (cm)	Stress $\sigma_x$ ( $\text{N cm}^{-2}$ ) at $X = 12 \text{ cm}$ , $Y = 6 \text{ cm}$
Constant strain triangle	C-1	160	0.45834	51.225
	C-2	576	0.51282	57.342
Linear strain triangle	L-1	160	0.53259	59.145
	L-2	576	0.53353	60.024
Quadratic strain triangle	Q-1	68	0.53059*	59.973*
	Q-2	214	0.53259	59.843
Beam theory (Upper bound for $v_x$ )			0.53374	60.000

\*Average of values at  $Y = 6 \text{ cm}$  and  $Y = -6 \text{ cm}$

# Confronto fra FEM - Problemi piani di Torsione

## - Rettangolari -

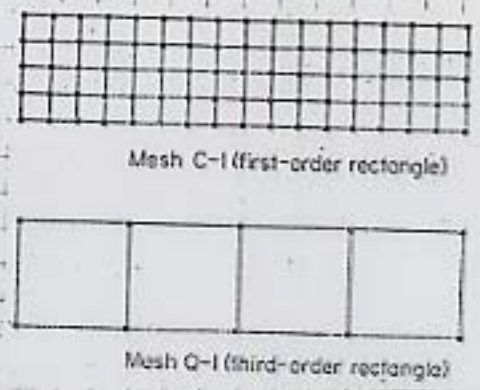
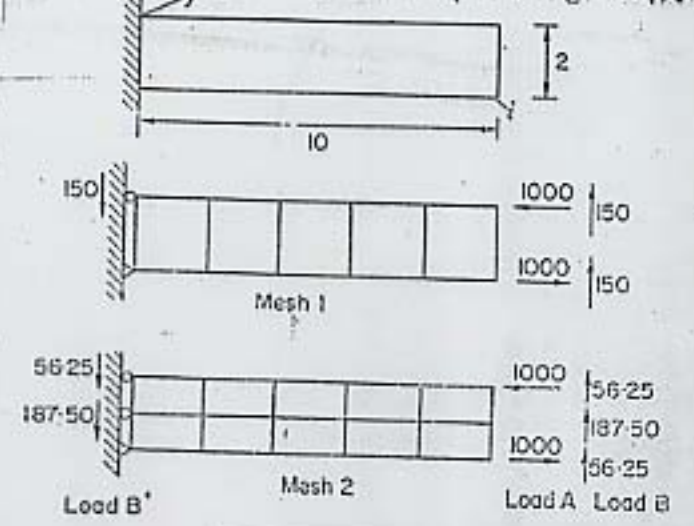


Table 4.2 COMPARISON OF RECTANGULAR AND TRIANGULAR ELEMENTS

Deflection and normal stress			
Element	Number of degrees of freedom	Tip deflection $v_x$ (cm)	$\sigma_x$ ( $\text{N cm}^{-2}$ ) at $X = 12 \text{ cm}$ , $Y = 6 \text{ cm}$
First-order rectangle	160	0.51679	58.266
Constant strain triangle	160	0.45834	51.225
Third-order rectangle (six variables per node)	52	0.52807	60.631
Quadratic strain triangle	68	0.53059	59.973

## - Rettangolari - Conforming e non



	Beam Theory	Displacement at I		Bending Stress at J	
		Load A	Load B	Load A	Load B
First-order element	Mesh 1	6.81	70.1	218.2	2.945
	Mesh 2	7.06	72.3	218.8	2.954
First-order element with constant shear	Mesh 1	10.00	101.5	300.0	4.050
	Mesh 2	10.00	101.3	300.0	4.050

Figure 4.19 Cantilever beam—Modified shear element

-10-

- 29 -

# MODELLI AGLI ELEMENTI FINITI per PIASTRE.

## PIASTRE SOTTILI (Love-Kirchhoff)

Come visto questa teoria, basata sull'ipotesi di trascurabilità delle def. da taglio

$$\gamma_{xz} \cong \gamma_{yz} \cong 0$$

$$\chi_x = -\frac{\partial^2 w}{\partial x^2}, \quad \chi_y = -\frac{\partial^2 w}{\partial y^2}, \quad \chi_{xy} = -2\frac{\partial^2 w}{\partial x \partial y}$$

rappresenta la naturale generalizzazione della teoria di Eulero-Bernoulli per le travi.

L'eq di S. Germaine-Lagrange

$$\left( \frac{\partial^4 w}{\partial x^4} + \frac{\partial^4 w}{\partial y^4} + 2\frac{\partial^4 w}{\partial^2 x \partial^2 y} \right) = \frac{q_z(x,y)}{D}$$

è la generalizzazione delle eq. della linea elastica

$$\frac{d^4 w}{dz^4} = \frac{q}{EI}$$

così come le condizioni al bordo e

di tipo cinematico

$$\begin{cases} w = 0 \\ \varphi_n = \frac{\partial w}{\partial n} = 0 \quad (\text{rot. normale}) \\ \text{al lato} \end{cases}$$

che di tipo statico

$$\begin{cases} M_n = 0 \\ T_n = Q_n + \frac{\partial M_{ns}}{\partial s} = 0 \end{cases}$$

si ricorda che l'ultima b.c coinvolge non la derivata del m. flettente  $Q_n$  ma  $T_n$  (teoria di Kirchhoff...)

-291-

Su di questo modello, tipicamente applicabile per piastre con uno spessore inferiore ad un decimo - un ventesimo del lato più corto

$$t < \frac{l}{10-20}$$

ed in presenza di spostamenti limitati ( $w_{\max} \leq t$ ) e quindi alle usuali piastre metalliche ed in c.a. e c.a.p. si concentrarono fin dall'inizio degli anni 60 gli sforzi per sviluppare el. finiti agli spostamenti di tipo compatibile, basati sul P. di Minimum dell' E.P.T.

$$\Pi(w) = \frac{1}{2} \int_{\Omega} (\underline{\Delta}^T \underline{\epsilon} \cdot \underline{\epsilon} - q^T w) dA + \int_{\partial\Omega_f} (\bar{m}_n \varphi_n + \bar{F}_z w) ds$$

Nel pot. elastico  $\bar{\Phi}$  compaiono i quadrati delle  $\frac{\partial w}{\partial x_i}$  ed affinché questo termine usulti finito e valutabile occorre che:

$w$  sia una f. continua dotata di derivate prime  $w_{,x}, w_{,y}$  continue e di quadrato sommabile (nel senso di Lebesgue)

Per le travi (1-D)  $w \in C^1[0, l]$  è bastato approssimare  $w$  con polinomi cubici di HERMITE che garantiscono la continuità di  $w$  e  $\frac{dw}{dz}$  (di fatto essi coincidono con le linee elastiche vincolate da cedimenti o rotazioni unitarie degli estremi)

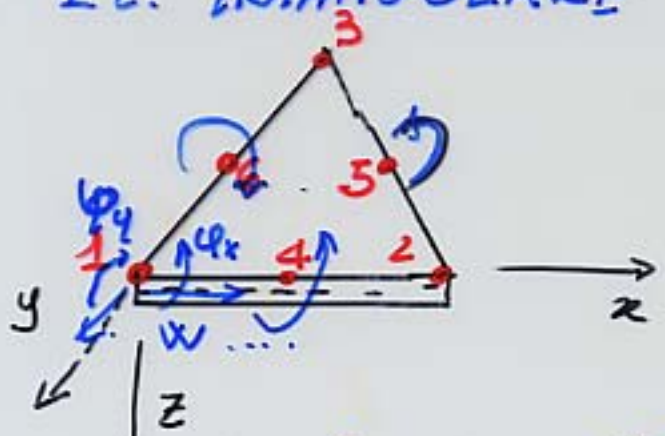
In 2-D ciò risulta più completo, si  
ovvero: molte che un solo

$$\frac{\partial W}{\partial n} = \frac{\partial W}{\partial x} n_x + \frac{\partial W}{\partial y} n_y$$

la continuità di  $W_{,x}$  e  $W_{,y} \Rightarrow$  la continuità di  $W_{,n}$  /  $n$   
(in termini meccanici in campo elastico  
non si possono avere "cricche cilindriche" comunque  
dritte).

Si rimanda alla letteratura tecnica specifica  
(e.g. Zienkiewicz e Taylor ... op.cit. etc...) per  
una trattazione esauriente, nel seguito  
si presenteranno brevemente 2 el. "compatibili"  
che verificano in pieno i requisiti di regolarità  
citati.

### EL. TRIANGOLARE a 21 d.o.f. (1969)



TRIANGOLO DI PASCAL  
(TARTAGLIA)

$W$  pol di 5° grado completo

			$d_1$		
		$d_{2x}$		$d_{3y}$	
	$d_4 x^2$	$d_5 xy$	$d_6 y^2$		
$d_7 x^3$	$d_8 x^2 y$	$d_9 xy^2$	$d_{10} y^3$		
$d_{11} x^4$	$d_{12} x^3 y$	$d_{13} x^2 y^2$	$d_{14} xy^3$	$d_{15} y^4$	
$d_{16} x^5$	$d_{17} x^4 y$	$d_{18} x^3 y^2$	$d_{19} x^2 y^3$	$d_{20} xy^4$	$d_{21} y^5$

Nei nodi 1, 2, 3 6 parametri nodali:

$$W, W_{,x}, W_{,y}, W_{,xx}, W_{,yy}, W_{,xy} \quad (6 \times 3 = 18)$$

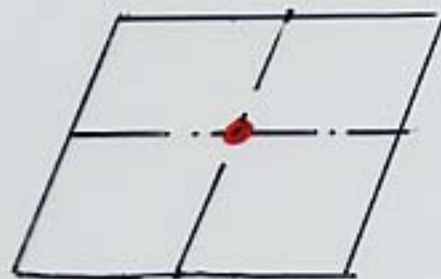
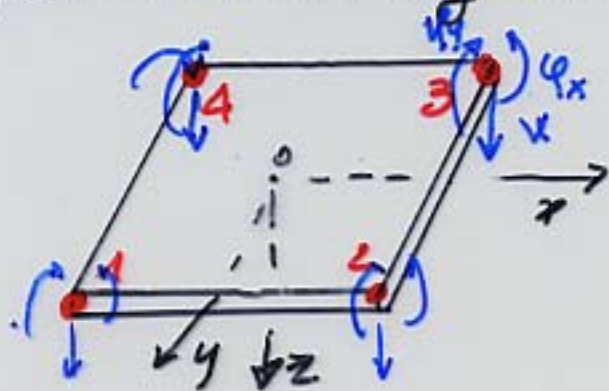
ed inoltre nei "mid side" node 4, 5, 6 le 3 derivate normali  $W_{,n}$

-301-

è facile osservare come approssimando la soluzione con polinomi di 5° grado risultano continue non solo  $w$  e  $w, n$  ma anche le curvature ( $\propto$  alla  $\delta^2$ ) e quindi i momenti, e ciò può non essere "vero" per alcune condizioni di carico.

### El. Rettangolare a 16 (12) d.o.f.

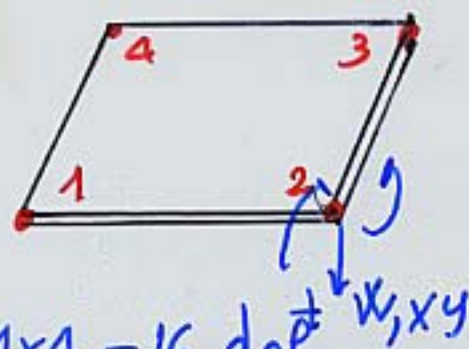
Assumendo come f. di forma i polinomi di Hermite in  $x$  ed  $y$  (ovvero ipotizzando una deformazione a trave nelle 2 direzioni) è stato proposto l'el. rettangolare a 12 d.o.f. in figura



"PATCH"  
(di element)

- i) le  $w, n$  ( $\sigma \varphi_n$ ) non è continua lungo i lati
- ii) Se al bordo del gruppo di elementi si prescrive una def. uniforme (e.g. una curvatura costante) l'elemento non è in grado di riprodurre esattamente tutti gli stati di def. uniforme in tutti i punti interni.

⇒ È noto super il patch test.



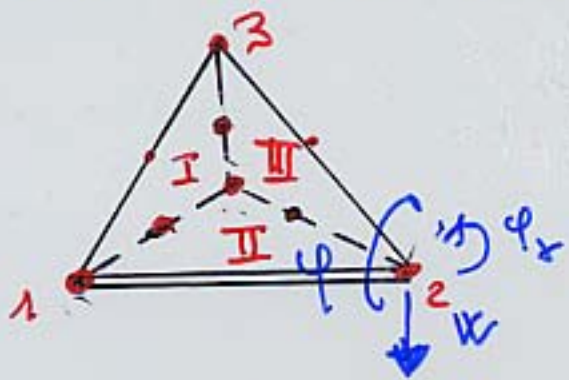
$4 \times 4 = 16$  dof  
(compatible)

Aggiungendo nei nodi come ulteriori variabili

$w, \varphi_{xy}$  (ovvero  $\gamma_{xy}$ ) con le stesse f. di forma si ottiene un elemento completamente compatibile

( $w$  cubico completo + Termez. di rotazione sup.)

L'elemento triangolare ad alta compatibilità  
HCT a 12 (e 9) d.o.f. (Clough-Tocher 1968)



L'elemento compatibile  
è stato ottenuto attraverso  
le definizioni di campi  
di spostamento distinti  
su 3 sottodomini in Figura

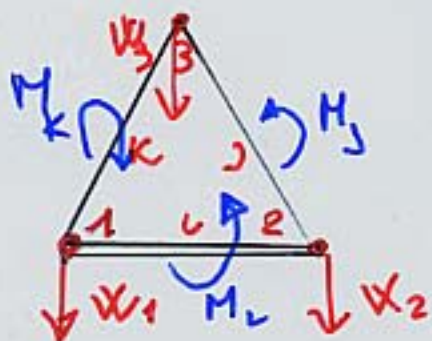
Mediante eliminazione (condensazione statica)  
è stato ottenuto un elemento triangolare a  
 $3 \times 3 = 9$  d.o.f. Ne è stata sviluppata una  
versione anche a 12 d.o.f con 3 mid side nodes  
ove assegnare  $\varphi_n$ . Questo elemento era  
contenuto nei vari programmi S.A.P.  
(e era molto accurato).

A partire dagli anni 70-80 sono stati proposti  
numerosi elementi "non compatibili" basati  
su interpolazioni non solo dello spostamento  $w$   
ma anche del tensore dei momenti.

e quindi basati su principi variazionali  
diversi dal Principio di minimo dell'E.P.T.

in genere sul principio di stazionarietà  
di Hellinger - Reissner

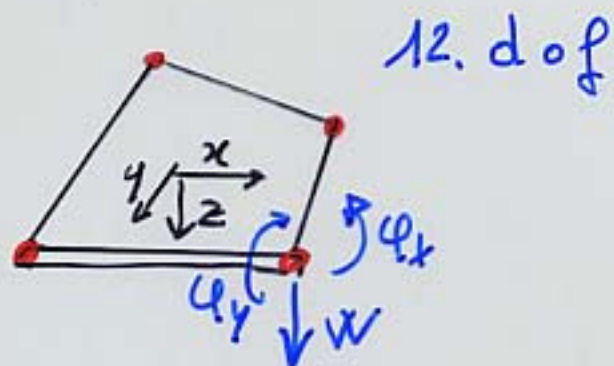
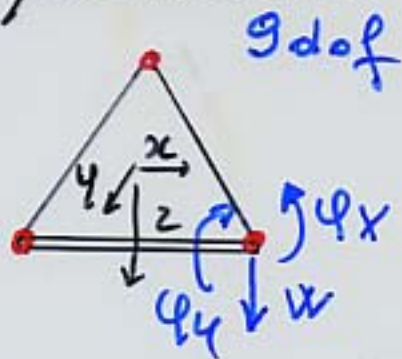
Il più semplice, ed il più antico di  
essi, usato principalmente nel calcolo  
a rottura delle piastre è il cosiddetto  
elemento di Hellan e Hermann



- $w$  lineare
- $m$  costante

L'elemento è detto "misto" se come variabili compaiono esplicitamente  $w$  e  $m$ , l'elemento è detto "Ibrido" se  $m$  è eliminato a livello dell'elemento per ottenere una matrice delle energie di rigidità nelle sole variabili di spostamento.

Nelle versioni attuali dei programmi commerciali sono ora implementati alcuni ~~tipici~~ elementi di questo tipo che in genere, per poter essere interfacciati con pb piani di tensione (el. plate and shell) presentano 9 (d.o.f) per i triangoli e 12 d.o.f per i quadrilateri.



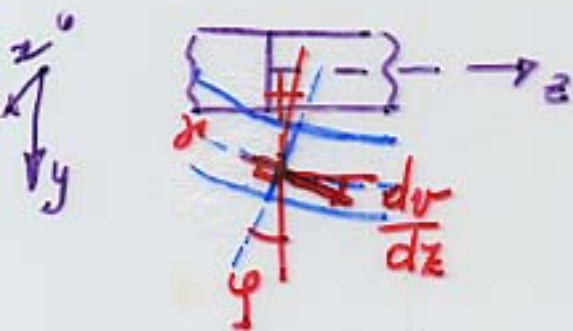
I più comuni sono dovuti a Bazeley, Irons e Zienkiewicz e Bathe.

# LASTRE DEFORMABILI A TAGLIO ( REISSNER-MINDLIN )

Le difficoltà sopra ricordate nello sviluppare modell. e.f. con continuità  $C^1$  in 2-D hanno portato dalla metà degli anni 70 a sviluppare elementi per piastre di R.-M. che attualmente sono disponibili ed i più utilizzati nei codici di calcolo più diffusi (ADINA, ABAQUS, SAP 200 ....)

La ragione del successo sta nel fatto che la continuità richiesta per lo spostamento trasversale  $w \in C^0$ . quindi possono essere usate le stesse funzioni di forma, e lo stesso tipo di elementi isoparametrici usati per i problemi piani e 3D.

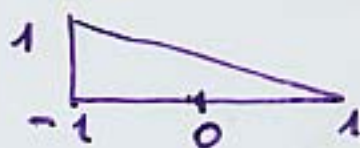
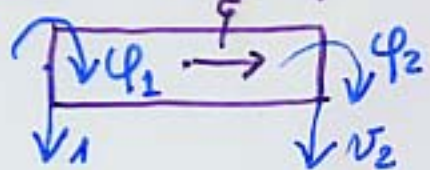
## Trave def. a Taglio (Timoshenko)



$$\begin{cases} w(z) = \varphi(z)y & \text{cons. sez. piano} \\ v(z) = v_0(z) & \text{undef. sez. trasvers.} \\ \gamma_{yz} = \frac{\partial w}{\partial y} + \frac{\partial v}{\partial z} = v' + \varphi \end{cases}$$

2 sono i campi indep.  $v$  e  $\varphi$   
e basta che siano continui

L'elemento "lineare"



$$\frac{1}{2}(1-\xi) = N_1(\xi)$$



$$\frac{1}{2}(1+\xi) = N_2(\xi)$$

posto  $\xi = z/c$  si ottiene

$$(1) \begin{cases} v(\xi) = N_1(\xi)v_1 + N_2(\xi)v_2 \\ \varphi(\xi) = N_1(\xi)\varphi_1 + N_2(\xi)\varphi_2 \end{cases}$$

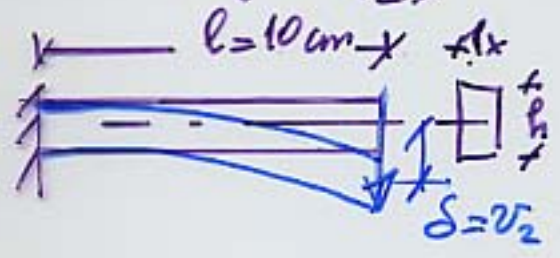
ricordando che la curvatura  $\gamma = \frac{d\varphi}{dz}$ ,  
 l'EPT dell'elemento di trave si scrive

$$\Pi(v, \varphi) = \frac{1}{2} \int_0^e EJ \left( \frac{d\varphi}{dz} \right)^2 dz + \frac{GA}{2\beta} \int_0^e \gamma^2 dz - \int_0^e \bar{q}v + \bar{m}\varphi dz \quad (2)$$

sostituendo 1 in 2 (nei primi 2 termini si ottiene)

$$K^e = \frac{Eh^3}{12} \int_0^e \begin{bmatrix} 0 \\ 0 \\ -1/e \\ 1/e \end{bmatrix} \begin{bmatrix} 0 & 0 & -1/e & 1/e \end{bmatrix} dz + \frac{5GA}{6} \int_0^e \begin{bmatrix} -1/e \\ 1/e \\ -(1-z/e) \\ -z/e \end{bmatrix} \begin{bmatrix} -1/e & 1/e & -(1-z/e) & -z/e \end{bmatrix} dz$$

se  $\nu = 0$  ( $G = E/2$ ) si ha:



$$K^e = \begin{bmatrix} \frac{5h}{e} & -\frac{5h}{e} & \frac{5h}{2} & \frac{5h}{2} \\ \frac{5h}{e} & -\frac{5h}{e} & -\frac{5h}{2} & -\frac{5h}{2} \\ \text{Sym} & & \left(\frac{h^3}{e} + \frac{5hl}{3}\right) & \left(\frac{5hl}{6} - \frac{h^3}{e}\right) \\ & & \left(\frac{h^3}{e} + \frac{5hl}{3}\right) & \left(\frac{h^3}{e} + \frac{5hl}{3}\right) \end{bmatrix}$$

Se si considera la mensola in Figura poiché  $v_1 = \varphi_1 = 0$  si ha

$$\frac{E}{12} \begin{bmatrix} \frac{5h}{e} & -\frac{5h}{2} \\ -\frac{5h}{2} & \left(\frac{h^3}{e} + \frac{5hl}{3}\right) \end{bmatrix} \begin{bmatrix} v_2 \\ \varphi_2 \end{bmatrix} = \begin{bmatrix} P \\ 0 \end{bmatrix} \Rightarrow \delta = \frac{12Pl}{5hE} \left( 1 + \frac{5hl}{4\left(\frac{h^3}{e} + \frac{5hl}{3}\right)} \right)$$

mentre la teoria tecnica  $\Rightarrow \delta^{\text{ex}} = \frac{Pl^3}{3ES} = \frac{4Pl^3}{Eh^3}$

per  $h/e = 1/100$   $\delta^{\text{ex}} = \frac{4P}{E} (100)^3$ ,  $\delta \approx \frac{12P}{5E} \cdot 100 (1 + 3)$

"SHEAR LOCKING"

il termine in  $\gamma = v' + \varphi = -\frac{v_1}{e} + \frac{v_2}{e} + \frac{1}{2}(1-\xi)\varphi_1 + \frac{1}{2}(1+\xi)\varphi_2$   
 essendo somma di un termine lineare e un termine costante  
 non si può annullare quindi  $\int_0^e \gamma^2 dz \neq 0$   
 e l'elemento risulta molto più rigido.